

УДК 541.135.5

Электролиз с проточными углеродными электродами в процессе электролитической переработки аммиакатных промывных растворов кадмирования

В. И. ВАРЕНЦОВА¹, В. К. ВАРЕНЦОВ^{1,2}¹Институт химии твердого тела и механохимии Сибирского отделения РАН, ул Кутателадзе, 18, Новосибирск 630128 (Россия)²Новосибирский государственный технический университет, проспект К. Маркса, 20, г. Новосибирск 630092 (Россия)

E-mail: vwk@ngs.ru

(Поступила 16.11.09; после доработки 02.12.09)

Аннотация

Изучена регенерации кадмия, осажденного электролизом на углеродные волокнистые электроды, в процессе переработки аммиакатных промывных растворов кадмирования, за счет работы короткозамкнутой электрохимической системы или анодным растворением. Исследовано изменение свойств углеродных волокнистых электродов при их циклическом использовании в процессах электроосаждение – растворение кадмия и возможность их повторного использования.

Ключевые слова: кадмий, осаждение, растворение, углеродный волокнистый электрод, короткозамкнутая электрохимическая система

ВВЕДЕНИЕ

Благодаря своим специфическим свойствам кадмиеевые покрытия используются для защиты изделий в агрессивных средах (повышенная влажность, тропические условия) [1–3]. В то же время кадмий – редкий дорогостоящий металл, соединения которого высокотоксичны. В связи с этим необходимо не только обезвреживать промывные растворы, образующиеся в процессе кадмирования, но и возвращать кадмий в виде металла или солей в производство. Один из методов, позволяющих решать эти вопросы, – это электролиз с проточными катодами из углеродных волокнистых материалов (УВМ). Этот метод используется для электроизвлечения благородных, редких и цветных металлов из растворов различных отраслей промышленности, в том числе из промывных растворов и отработанных электролитов гальванотехники [4, 5]. Ранее нами было показано, что угле-

родные волокнистые электроды (УВЭ) можно эффективно применять для осаждения кадмия из промывных аммиакатных растворов кадмирования [6].

Использование УВЭ для электролитического извлечения цветных металлов из промывных растворов гальванотехники связано с необходимостью регенерации углеродных электродов и возвратом извлеченного металла в основной процесс. Однако систематических исследований, посвященных изменению свойств УВЭ при их циклическом использовании в процессах электроосаждение – растворение и их влиянию на параметры обоих процессов, до сих пор не проводилось. На основании ранее выполненных исследований [7–10] можно предположить, что использование УВЭ в циклических процессах будет в существенной мере влиять на их свойства. Однако однозначный вывод о положительном или отрицательном влиянии этих изменений на основной процесс электроосаждения металла сде-

лать затруднительно ввиду малочисленности имеющихся данных.

Цель настоящей работы – исследование возможности регенерации кадмия, извлеченного из аммиакатных промывных растворов кадмирования с использованием УВЭ, за счет работы короткозамкнутой электрохимической системы (КЭС) или анодным растворением; оценка изменения свойств УВМ и показателей процесса в цикле электроосаждение – растворение.

ЭКСПЕРИМЕНТАЛЬНАЯ ЧАСТЬ

Для исследований использовали промышленные аммиакатные электролиты кадмирования следующего состава, г/л: 1) CdSO_4 50, $(\text{NH}_4)_2\text{SO}_4$ 150, H_3BO_3 25, pH 5; 2) CdSO_4 50, $(\text{NH}_4)_2\text{SO}_4$ 250, уротропин 20, диспергатор НФ 75 мл/л, pH 6 [2, 3]. Фоновые растворы содержали те же компоненты, кроме соли кадмия. Электродную поляризацию УВМ проводили от источника питания постоянного тока ТЭС-14 в гальваностатических условиях при циркуляции раствора со скоростью 0.2 мл/(см² · с) сквозь объем углеродного волокнистого электрода и промежуточную емкость с помощью перистальтического насоса типа ррп-304 на установке и по методике, описанным в работе [10]. Использовали схему тыльной по отношению к противоэлектроду подачи раствора в электрод с тыльным токоподводом. Материал углеродного волокнистого электрода – карбонизованный углеграфитовый материал НТ-1 толщиной 2 мм, габаритная площадь – 2 см², токоподвод – перфорированная пластина из титана или платины, противоэлектрод – платиновая проволока. Электроосаждение кадмия проводили на этой же установке при кратности разбавления фонового электролита 5 (№ 2) и 20 (№ 1). Концентрацию кадмия в растворе определяли атомно-абсорбционным методом. Эффективность электроизвлечения кадмия оценивали по степени извлечения α :

$$\alpha = (c_0 - c_t)/c_0$$

где c_0 и c_t – исходная и конечная концентрации кадмия в растворе соответственно, г/л.

Распределение кадмия по толщине электрода изучали при его электроосаждении на УВЭ, состоящий из двух слоев УВМ. Каждый

слой УВЭ после электроосаждения и промывки высушивали на воздухе до постоянной массы и взвешивали. По разности масс слоя УВЭ до и после электролиза рассчитывали количество осажденного кадмия. Доля кадмия (M), выделившегося на тыльной (M_t) и фронтальной (M_ϕ) по отношению к противоэлектроду сторонах электрода, определяли по формуле $M = m_{t(\phi)} / (m_t + m_\phi) \cdot 100\%$ где m_t и m_ϕ – масса кадмия на тыльной и фронтальной сторонах электрода соответственно, г.

Для исследования изменения массы и удельной электрической проводимости УВЭ промывали дистиллированной водой и высушивали при 80–100 °C. Стационарный электродный потенциал кадмииевой пластины и УВЭ в электролитах № 1 и 2 измеряли относительно насыщенного хлорсеребряного электрода и пересчитывали на водородную шкалу.

Электрическую проводимость УВЭ измеряли на установке и по методике, описанной в работе [4], с использованием моста переменного тока ВМ-509; величину стационарного электродного потенциала – с помощью вольтметра GDM-8135. Поляризационные кривые снимали в потенциодинамических условиях на графитовом микроэлектроде диаметром 2 мм с обновляемой в растворе поверхностью по методике, приведенной в работе [11], с использованием полярографа РА-2 при скорости развертки потенциала 50 мВ/с.

На рис. 1 приведены результаты экспериментов моделирования процесса электролитического извлечения кадмия из ванны улавливания применительно к автоматизированной линии кадмирования. В раствор, циркулирующий между электролизером и промежуточной емкостью (ванна улавливания), через равные промежутки времени вносили порцию электролита кадмирования, моделирующую однократную промывку деталей. Увеличение концентрации кадмия в растворе при этом составляло 25 мг/л. Электроизвлечение кадмия проводили при плотности тока 750 А/м². Видно, что при выбранных условиях весь вносимый при промывке деталей кадмий извлекается электролизом между двумя последовательными промывками.

В зависимости от состава электролита количество осажденного на 1 г УВЭ кадмия раз-

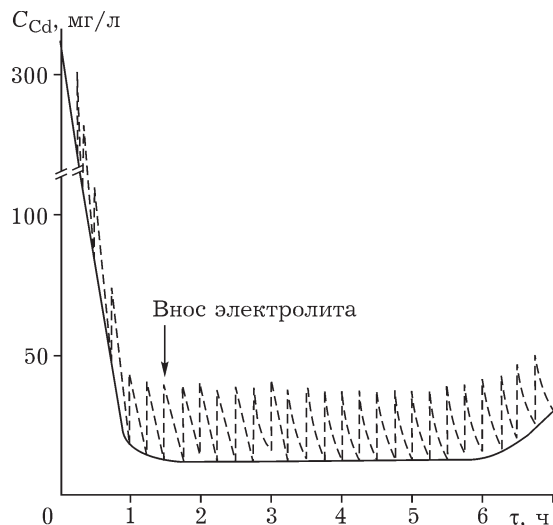


Рис. 1. Зависимость изменения концентрации кадмия в промывном аммиакатном растворе от времени промывки в процессе моделирования электроизвлечения кадмия из ванны улавливания. Условия процесса: электролит № 1; начальная концентрация кадмия 330 мг/л, $n = 20$, периодичность промывки 15 мин, повышение концентрации кадмия при однократной промывке 25 мг/л.

лично и обусловлено структурой осадка и локализацией кадмия в объеме УВЭ, которые определяются особенностями электроосаждения кадмия в рассматриваемых электролитах. При электроосаждении металлов на катоды из УВМ важное значение для распределения металла по объему электрода имеет перенапряжение выделения водорода на УВМ и осаждающемся металле [4]. Перенапряжение выделения водорода на кадмии составляет 1.1 В, на графите – 0.8 В [1, 12], поэтому зарастание электрода кадмием осуществляется преимущественно на металле, осевшем в начальный период электролиза. Немаловажный фактор – величина pH раствора, которая определяет устойчивость ам-

миакатных комплексов кадмия. Так, при $\text{pH} > 5$ в растворе преобладают комплексы $\text{Cd}(\text{NH}_3)_2^{2+}$ ($K_h = 1.8 \cdot 10^{-5}$) [2, 13]. Кроме того, в электролите № 2 содержатся комплексы кадмия с уротропином и поверхностно-активная добавка, поэтому процесс электроосаждения кадмия из этого электролита должен характеризоваться более высокой поляризуемостью [2, 3].

Экспериментально показано, что при электроизвлечении кадмия из электролита № 1 осажденный на УВЭ кадмий локализуется на фронтальной (более близкой к аноду) стороне электрода. В этом случае осадок получается рыхлый, его сцепление с поверхностью углеродных волокон непрочное. Количество кадмия, осажденного на 1 г УВК, не превышает 4.0 г, осадок растет на нитях в глубь электролита и осипается в раствор. При электроизвлечении кадмия из электролита № 2 выделившийся кадмий локализуется на тыльной (близлежащей к токоподводу) стороне электрода. Осадок более плотный, покрывает каждую нить УВЭ, растет в глубь электрода, количество осажденного кадмия составляет 6.0–6.2 г на 1 г УВЭ.

Ранее при электроосаждении меди из сернокислого раствора было показано [14], что предварительная электродная обработка УВМ существенно изменяет показатели процесса электроосаждения металла. Можно предположить, что предварительная электродная поляризация УВМ в электролите № 2, содержащем поверхностно-активные компоненты, влияет на последующее электроосаждение кадмия и из электролита № 1.

Установлено, что, как после катодной, так и после анодной поляризации в фоновом электролите № 2, масса УВЭ возрастает, последующее электроизвлечение кадмия достигает 80

ТАБЛИЦА 1

Изменение массы (Δm) и удельной электрической проводимости (χ) УВМ после катодной поляризации в фоновом растворе электролита № 2 при различной плотности тока (i). $\chi_{\text{исх}} = 0.024 \text{ См}/\text{см}$, продолжительность катодной поляризации 0.5 ч

Состав раствора, г/л	$i, \text{ А}/\text{м}^2$	$\Delta m, \%$	$\chi_{\text{кон}}, \text{ См}/\text{см}$
$(\text{NH}_4)_4\text{SO}_4$ 150, H_3BO_3 25	500	-0.15	0.024
$(\text{NH}_4)_4\text{SO}_4$ 250, уротропин 20, диспергатор НФ 75 мл/л	0	+5.0	0.024
	250	+4.9	0.023
	500	+4.9	0.025
	750	+5.0	0.027

ТАБЛИЦА 2

Влияние условий предварительной катодной обработки НТ-1 в фоновом электролите № 2 на распределение кадмия по толщине электрода при его электроосаждении из электролита № 1 ($\tau = 0.5$ ч, $i = 500 \text{ A/m}^2$, $C_{\text{Cd}} = 300 \text{ мг/л}$, тыльная подача раствора в электрод)

Условия обработки		$\alpha_{\text{Cd}}, \%$	$M_t, \%$	$M_\phi, \%$
$i, \text{ A/m}^2$	$\tau, \text{ ч}$			
0	0	66.7	100	0
0	0.5	72.8	15	85
250	0.5	74.7	14	86
500	0.5	78.5	26	74
750	0.5	74.7	24	76

и 46 % соответственно. В дальнейшем изучали только влияние катодной поляризации.

Из данных табл. 1 следует, что после катодной поляризации в фоновом растворе электролита № 1 масса УВМ практически не изменилась, после обработки в фоновом растворе электролита № 2 масса УВЭ возрастает на 4.9–5 %. Удельная электрическая проводимость НТ-1 изменяется незначительно.

Рассмотрим влияние этих изменений свойств УВЭ на последующее электроосаждение кадмия на таких электродах. Видно (табл. 2), что предварительная обработка УВЭ в фоновом растворе электролита № 2 приводит к увеличению на 6–12 % степени электроизвлечения кадмия и изменению соотношения кадмия, выделившегося на тыльной и фронтальной сторонах электрода.

Этот факт обусловлен улучшением распределения тока, а следовательно, и осадка кадмия по толщине электрода. На 1 г такого УВМ можно осадить 4.2–4.4 г кадмия.

При электролитическом осаждении металлов на проточном УВЭ эффективность про-

цесса зависит от плотности тока и направления подачи раствора в электрод (тыльная или фронтальная). Причем для "толстых" электрородов это влияние должно быть наиболее значительным в силу неравномерности распределения электрохимического процесса по толщине электрода.

Видно (табл. 3), что изменение направления подачи раствора с тыльной стороны на фронтальную приводит к улучшению распределения кадмия по толщине электрода, но степень электроизвлечения кадмия при этом падает в 1.6–2.5 раза. Данный факт связан с уменьшением массы электроосаждения кадмия на фронтальной стороне электрода. Для анализа причин этого процесс электроосаждения кадмия проводили в два этапа.

После проведения первого этапа электроизвлечения кадмия с тыльной стороны электрода высушивали при температуре 40 °С, взвешивали и проводили второй этап – электроосаждение кадмия с фронтальной подачей раствора в электрод. Из данных табл. 4 следует, что при этом происходит "стравливание" кадмия с фронтальной стороны электрода. За счет этого улучшается его распределение по толщине электрода и существенно уменьшается степень извлечения кадмия.

Столь необычное изменение распределения кадмия по толщине электрода в зависимости от направления подачи раствора в электрород может иметь следующее объяснение. Во-первых, в конструкции ячейки токоподвод к УВЭ тыльный, поэтому наиболее отрицательный потенциал характеризует тыльную сторону электрода; во-вторых, в процессе электролитического извлечения кадмия в циркуляционном режиме при постоянном протоке электролита сквозь объем электрода проис-

ТАБЛИЦА 3

Влияние направления подачи раствора в электрород (A) при электроосаждении кадмия на НТ-1 из электролита № 1 на его распределение по толщине электрода.
Предварительная катодная обработка: $i = 500 \text{ A/m}^2$, $\tau = 0.5$ ч

Катод	A	$\alpha_{\text{Cd}}, \%$	$M_t, \%$	$M_\phi, \%$
Исходный	Тыльное	71.2	8	92
	Фронтальное	28.8	37	63
Обработанный	Тыльное	78.5	26	74
	Фронтальное	46.9	58	42

Примечание. Условия электроосаждения см. табл. 2.

ТАБЛИЦА 4

Влияние смены направления подачи раствора в электрод (A) на распределение кадмия по толщине электрода НТ-1 при его электроосаждении из электролита № 1. Условия процесса для каждого этапа: $\tau = 0.5$ ч, $i = 500$ А/м², начальная концентрация кадмия 300 мг/л

Катод	I этап					II этап		ΣM_t , %	ΣM_ϕ , %	$\Sigma \alpha$, %	
	A	α , %	m , мг		M_t , %	M_ϕ , %	A	m , мг			
			T	Ф				T	Ф		
Исходный	T	70.4	4.6	48.2	8.7	91.3	T	7.5	44.9	11.4	
Обработанный	T	78.5	15.2	43.6	25.8	74.2	T	16.8	45.5	26.4	
Исходный	T	71.2	4.4	49.0	8.0	92.0	Ф	5.0	-14	21.0	
Обработанный	T	76.7	14.5	43.0	25.2	74.8	Ф	11.0	-22	55.0	

ходит его насыщение кислородом и обеднение кадмием. Поляризационные кривые, характеризующие катодный процесс восстановления кадмия (рис. 2), свидетельствуют о том, что процессу восстановления кадмия (область II) предшествует восстановление растворенного кислорода (область I), а уменьшение концентрации кадмия в растворе (кривые 3,

4) приводит к смещению потенциала начала выделения кадмия в отрицательную сторону. Подробно это явление описано в работе [15]. В результате на фронтальной стороне УВЭ при фронтальной подаче раствора основным катодным процессом является восстановление кислорода, а потенциал, необходимый для электроосаждения кадмия, может не достигаться. Таким образом, по отношению к процессу электровосстановления кадмия эта часть электрода является анодной. В-третьих, осажденный на УВЭ кадмий способен растворяться за счет работы короткозамкнутой электрохимической системы (КЭС) [6]. Таким образом, более эффективна тыльная подача раствора в электрод.

Осажденный на УВЭ кадмий необходимо регенерировать и возвратить в гальванический процесс. Для этой цели перспективно использовать электрохимический метод – анодное растворение.

Анодные поляризационные кривые, отражающие растворение кадмия (см. рис. 2), свидетельствуют о том, что процесс растворения кадмия протекает без осложнений. Кадмий хорошо растворяется в фоновых растворах электролитов № 1, 2 при различной плотности анодного тока (рис. 3). Анодное растворение осажденного на УВЭ кадмия в электролизере без разделения электродных пространств позволяет получить на катоде электролитический порошок кадмия. Если электродные пространства разделить ионообменной мембраной и проводить анодное растворение в фоновом растворе соответствующего электролита, то можно получить раствор электролита кадмирования. Такой способ ре-

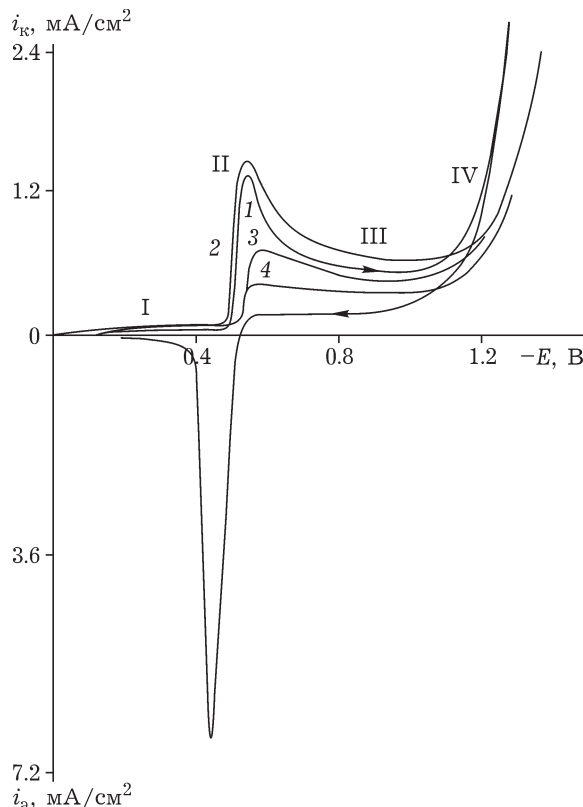


Рис. 2. Поляризационные кривые, характеризующие электродные процессы на графитовом микроэлектроде в электролите № 1. Концентрация кадмия, мг/л: 300 (1, 2), 150 (3), 50 (4); кратность разбавления фонового электролита: 0 (1), 50 (2), 20 (3, 4).

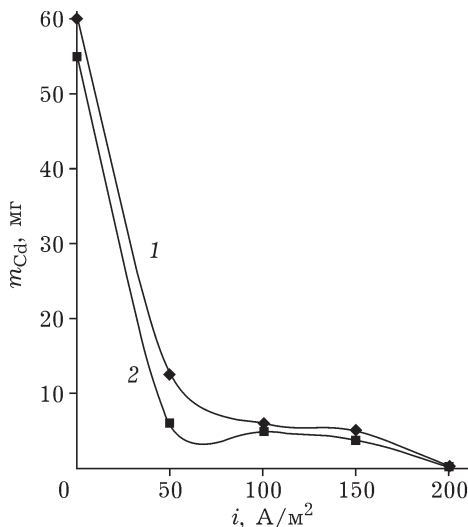


Рис. 3. Уменьшение массы кадмия, осажденного на УВЭ, при его анодном растворении в фоновом растворе электролитов № 1 (1) и 2 (2) при различной плотности анодного тока. $\tau = 30$ мин, объем раствора 100 мл.

генерации осажденного на УВЭ кадмия можно проводить в том же электролизере. Процесс растворения кадмия осуществляется с высоким выходом кадмия по току, который в некоторых случаях существенно превышает 100 %. Это свидетельствует о протекании параллельной реакции, сопровождающейся растворением кадмия. Такой реакцией, как уже упоминалось, может быть растворение кадмия за счет работы КЭС: УВМ – кадмий – раствор электролита.

Величины стационарных электродных потенциалов кадмия и УВЭ в растворах электролитов составляют -0.48 и $+0.41$ В соответственно (электролит № 1) и -0.53 и $+0.42$ В соответственно (электролит № 2) при концентрации кадмия 100 мг/л. Разность между стационарными потенциалами кадмия и УВМ для обоих электролитов высокая (890–950 мВ), поэтому осажденный на УВЭ кадмий должен растворяться в фоновом аммиакатном растворе за счет работы КЭС. Исследования показали, что растворение кадмия за счет КЭС осуществляется с катодным контролем, на катодных участках восстанавливается растворенный кислород, степень катодного контроля составляет 94 %.

Согласно литературным данным, восстановление кислорода из кислых растворов на различных углеродных электродах, в том чис-

ле на пористых угольных, протекает через образование пероксида водорода по реакции $O_2 + 2H^+ + 2e \leftrightarrow H_2O_2$ который “является достаточно стабильным вблизи стационарного потенциала” [18, 19].

Очевидно, что образующийся на катодных участках КЭС пероксид водорода может взаимодействовать с поверхностью волокон УВМ. Результаты ранее опубликованных нами исследований показали, что наиболее сильно окислению подвергаются карбонизованные УВМ, к которым относится использованный в настоящей работе НТ-1 [6, 7, 9].

Процесс растворения кадмия за счет работы КЭС может самостоятельно использоваться для регенерации кадмия. Это более простой способ, эффективно использованный нами для регенерации осажденного на УВЭ цинка и палладия [16, 17]. Проведенные исследования показали, что осажденный на УВЭ кадмий растворяется в фоновом растворе соответствующего электролита со значительной скоростью (рис. 4). При этом получены растворы с содержанием $CdSO_4$ 35–40 г/л, которые могут использоваться для приготовления электролитов кадмирования.

В процессе осаждения и последующего растворения кадмия УВЭ подвергается циклической катодной и анодной поляризации. Ранее было показано, что свойства УВЭ при этом могут существенно изменяться [6–9]. В связи с этим необходимо было исследовать изменение свойств УВЭ после проведения нескольких циклов электроосаждение – растворение кадмия.

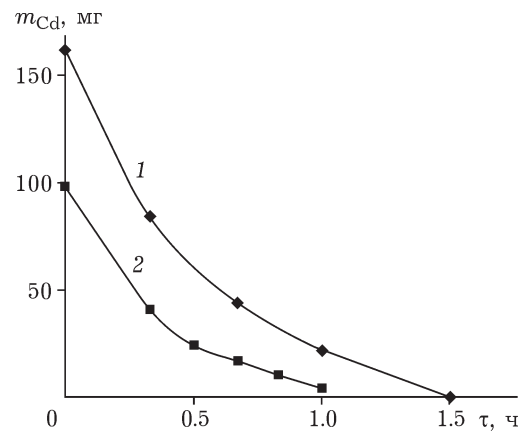


Рис. 4. Уменьшение массы осажденного на УВЭ кадмия при его растворении за счет работы КЭС в фоновом растворе электролитов №1 (2) и 2 (1). Объем раствора 100 мл.

ТАБЛИЦА 5

Изменение массы (Δm) и удельной электрической проводимости (χ) УВЭ после проведения пяти циклов электроосаждение – растворение кадмия ($\chi_{\text{исх}} = 0.024 \text{ См}/\text{см}$)

Метод растворения	Электролит			
	№ 1		№ 2	
	$\Delta m, \%$	$\chi, \text{См}/\text{см}$	$\Delta m, \%$	$\chi, \text{См}/\text{см}$
Растворение за счет КЭС	-6.2	0.012	-3.0	0.014
Анодное растворение	+8.2	0.002	+7.0	0.004

Из анализа данных табл. 5 следует, что после проведения пяти циклов электроосаждение – растворение за счет работы КЭС наблюдается уменьшение массы УВЭ и его удельной электрической проводимости. Наблюдаемые изменения в свойствах НТ-1 могут быть связаны с взаимодействием пероксида водорода с поверхностью волокон материала, однако эти изменения ослабляются катодной поляризацией УВМ.

Более существенные изменения свойств УВМ обнаружены после проведения пяти циклов электроосаждение – анодное растворение: масса УВЭ возрастает, удельная электрическая проводимость образцов уменьшается в 6–12 раз в зависимости от состава электролита. Это обусловлено образованием в анодном цикле на поверхности углеродных волокон поверхностных оксидных групп, а также возможной адсорбцией органических

компонентов электролита на поверхности волокон УВМ [8, 9].

Изменение свойств УВЭ может повлиять на процесс электроосаждения кадмия. По данным табл. 6, на образцах УВЭ после проведения пяти циклов электроосаждение – растворение показатели процесса электроизвлечения кадмия из электролита № 1 существенно не ухудшились, а масса кадмия, осажденного на единицу массы УВЭ, уменьшилась на 12 % по сравнению с исходным материалом.

Показатели процесса электроосаждения кадмия на таких электродах из электролита № 2 существенно улучшились. В результате улучшения структуры осадка и более равномерного его распределения по толщине электрода количество кадмия, осажденного на 1 г УВЭ, возросло на 15–33 %. Это связано с тем, что эффективность электрохимического процесса в трехмерных проточных электродах

ТАБЛИЦА 6

Изменение степени электроосаждения кадмия (α) и максимального количества кадмия, осажденного на единицу массы УВЭ ($m_{\text{Cd}}/m_{\text{УВЭ}}$) после проведения пяти циклов электроосаждение – растворение кадмия ($i = 750 \text{ А}/\text{м}^2$, $C_{\text{Cd}} = 250$ и 300 мг/л для электролитов № 1 и 2 соответственно)

Электролит	$\alpha, \%$, при продолжительности электролиза, мин					$m_{\text{Cd}}/m_{\text{УВЭ}}$
	10	20	30	60	90	
<i>Исходный УВЭ</i>						
№ 1			66.2	94.4	99.1	4.0
№ 2	28.2	57.8	96.4			6.2
<i>Электроосаждение – электрорастворение за счет КЭС</i>						
№ 1			52.9	87.6	96.4	4.0
№ 2	48.0	84	99.9			8.3
<i>Электроосаждение – анодное растворение</i>						
№ 1			36.3	83.9	93.6	3.5
№ 2	61.6	92	99.9			7.2

характеризуется распределением потенциала, поляризации, локальных плотностей токов по толщине электрода. Изменение этого распределения, обусловливающее изменение эффективности электроосаждения кадмия в циклическом процессе осаждение – растворение, может быть связано с наличием в электролите № 2 таких компонентов, как уротропин и диспергатор НФ. Их положительное влияние на процесс электроизвлечения кадмия из аммиакатных электролитов связано, по-видимому, с взаимодействием этих компонентов с поверхностью волокон УВЭ в период его циклической поляризации. Для проверки этого предположения проведены специальные поляризационные исследования. Графитовый электрод предварительно подвергался катодно-анодной поляризации до пяти циклов в электролитах № 1 и 2, содержащих 300 мг/л кадмия.

Из анализа данных рис. 5 следует, что в растворе, не содержащем уротропин и диспергатор НФ (электролит № 1), циклическая обработка УВЭ практически не влияет на вид поляризационной кривой (кривая 1). В растворе, содержащем эти компоненты, уже после первого цикла осаждение – растворение кадмия наблюдается смещение поляризационной кривой в сторону электроотрицательных потенциалов, заметно возрастает наклон второго участка поляризационной кривой (кривая 3), следовательно, возрастает поляризуемость. Обновление поверхности электрода срезанием в растворе “возвращает” поляризационную кривую в исходное состояние,

т. е. вид кривой аналогичен снятой на исходной поверхности (кривая 2).

ЗАКЛЮЧЕНИЕ

Таким образом, УВЭ можно эффективно использовать для электроосаждения кадмия из промывных растворов, образующихся при нанесении кадмииевых покрытий из аммиакатных электролитов. Характер поляризационных кривых, снятых на обновляемом в растворе графитовом микроэлектроде, определяется концентрацией ионов кадмия в растворе и концентрацией компонентов фонового раствора. Анодный процесс протекает без осложнений. Структура электролитического осадка кадмия и его распределение по толщине УВЭ зависят от состава раствора, на 1 г УВЭ осаждается 4,5–6,5 г кадмия.

Осажденный на УВЭ кадмий можно регенерировать за счет работы КЭС или анодным растворением. Получены растворы, содержащие 35–40 г/л CdSO_4 или порошок кадмия. Исследовано изменение массы и удельной электрической проводимости УВЭ при их циклическом использовании в процессах электровосстановление – регенерация кадмия. Наибольшие изменения отмечены при регенерации кадмия анодным растворением: масса УВЭ возросла на 7–8 %, удельная электрическая проводимость уменьшилась в 6–12 раз. Показатели процесса электровосстановления кадмия на УВЭ после их циклического использования (пять циклов) не ухудшились. В растворах, содержащих органические компоненты, отмечено увеличение степени извлечения кадмия. Количество кадмия, осажденного на 1 г углеродного волокнистого катода, возросло на 15–30 %.

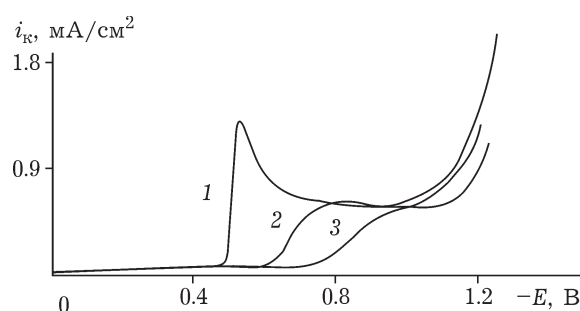


Рис. 5. Поляризационные кривые, характеризующие электродные процессы электровосстановления кадмия на графитовом обновляемом микроэлектроде при его циклической катодно-анодной поляризации в электролитах № 1 (1) и 2 (2, 3). Концентрация кадмия 300 мг/л. Кратность разбавления фонового электролита: 20 (1, 2) и 5 (3). Циклы: 1–5 (1), 1 (2), 2–5 (3).

СПИСОК ЛИТЕРАТУРЫ

- 1 Кудрявцев Н. Т. Электролитические покрытия металлами. М.: Химия, 1979. С. 279.
- 2 Ильин В. А. Цинкование, кадмирование, лужение и свинцовение. Л.: Машиностроение, 1977. С. 93.
- 3 Гальванотехника: Справ. / Ф. Ф. Ажогин, М. А. Беленький, И. Е. Галь, М. И. Гарбер, В. Е. Генкин, А. М. Гинберг и др. М.: Металлургия, 1987. С. 736.
- 4 Варенцов В. К. Электрохимические процессы и аппаратура с объемно-пористыми проточными электродами для извлечения металлов из разбавленных растворов

- ров: Автореф. дис. ... д-ра хим. наук. Свердловск, 1990. С. 38.
- 5 Варенцов В. К. // Журн. прикл. химии. 2003. Т. 76, № 10. С. 1635.
- 6 Варенцов В. К., Варенцова В. И. // Гальванотехника и обработка поверхности. 2005. Т. 13, № 3. С. 26.
- 7 Варенцов В. К., Варенцова В. И. // Электрохимия. 2001. Т. 37, № 7. С. 811.
- 8 Зонова Е. Б., Братская С. Ю., Артемьеванов А. П., Моргун Н. П., Хабалов В. В., Кондриков Н. Б. // Изв. вузов. Химия и хим. технология. 2004. Т. 47, № 2. С. 7.
- 9 Варенцова В. И., Варенцов В. К. // Журн. прикл. химии. 2005. Т. 78, № 3. С. 433.
- 10 Варенцов В. К., Варенцова В. И. // Там же. Т. 72, № 4. С. 605.
- 11 Клетеник Ю. Б., Бек Р. Ю., Полякин Л. Ю., Замятин А. П. // Изв. СО АН СССР. Сер. хим. наук. 1985. Т. 1, № 2. С. 93.
- 12 Варьшев В. Н., Красиков В. Л. // Журн. прикл. химии. 1980. Т. 53, № 3. С. 586.
- 13 Яцимицкий К. Б., Васильев В. П. Константы нестойкости комплексных соединений. М.: Изд-во АН СССР, 1959. С. 206.
- 14 Варенцова В. И., Варенцов В. К. // Журн. прикл. химии. 2000. Т. 76, № 11. С. 217.
- 15 Варенцова В. И., Варенцов В. К. // Там же. 2007. Т. 80, № 2. С. 242.
- 16 Варенцов В. К., Варенцова В. И. // Там же. 1997. Т. 70, № 3. С. 83.
- 17 Варенцов В. К., Варенцова В. И. // Там же. 2003. Т. 76, № 11. С. 1788.
- 18 Тарасевич М. Р. Электрохимия углеродных материалов. М.: Наука, 1984. С. 253.
- 19 Загудаева Н. М., Вилинская В. С., Штейнберг Г. В. // Электрохимия. 1982. Т. 18, № 4. С. 541.